

北海道開発局 土木試験所 正員 ○西堀忠信

同 同 正員 大島 知

まえがき

アレテンション方式により製作したPCケタを横に並べ、その間を場所打ちコンクリートによりつなが合せ横縫のを行なう、いわゆるアレテンPCスラブ橋は昭和34年にJISが制定され、短支間の道路橋に広く利用されてきた。一般に本型式では、スラブの横方向の曲げモーメントに対してケタと場所打ちコンクリートとの隙間にヒビツレが生じないよう横方向のプレストレス、いわゆる横縫めを行なってきた。しかし、現場における作業が多岐にわたるため、特に小規模な工事ではアレハブの利点が阻害される面がある。本報文はJISのスラブ橋用PCケタを並列してスラブで横縫のしない場合、および横縫の孔に鉄筋を通じて2種のスラブについて静的載荷試験および繰返し載荷試験を行なって、荷重分配作用、破壊荷重などを比較検討したものである。

実験概要

実験を行なったスラブはスラブAおよびスラブBの2種で、2種ともJISのアレテンケタ(S105)10本を並列した支間5m、幅3.32mの矩形スラブで、スラブAはケタの間に場所打ちコンクリートを打設しただけ、スラブBは横縫の孔にSDC40、Φ32mmの異形鉄筋を通じ場所打ちコンクリートを打設したものである。場所打ちコンクリートはセメント使用量430kg/m<sup>3</sup>、スランプ7.5cm、最大骨材寸法20mmである。

スラブAおよびBとも同じ方法により試験した。スラブは中詰コンクリート打設後1週間湿润養生を行ない、10日後に実験を開始した。最初に静的載荷試験を行ない、繰返し荷重を加えてから再び静的載荷試験を行ない、て破壊試験をした。静的載荷試験はアムスラー式の載荷装置を用い、試験荷重1/2tを支間中央のケタの重心線上に20×20cmの支圧板を介して加えた。荷重は1/2tごとに高め、荷重とタフミ、ヒズミの関係を求めた。載荷試験は1ケタより10ケタまでジャッキを順次移し行なった。タフミは各ケタの支点より1.25mおよび2.30mの位置に取り付けたダイヤルゲージにより、またケタのヒズミは各ケタのダイヤルゲージと同じ位置の上縁および下縁と、中詰コンクリートの上縁に貼付けてストレンゲージにより測定した。繰返し荷重は最大荷重12t、最小荷重3.6t、載荷速度毎分250回で10ケタで100万回、5ケタで100万回加えた。

実験の結果

(スラブA)1ケタの載荷で中詰コンクリートとケタの打縫目にはば支間の全長にわたりヒビツレが生じた。生じたヒビツレのうち約半数は荷重の増減により開閉し、最大幅は約0.5mm程度である。図-1は5ケタおよび10ケタに載荷した時の支間中央のタフミ曲線である。図より明らかのように繰返し荷重の載荷後は荷重分配が低下しているが、これはケタと中詰コンクリートの付着が減少したことによるとと思われる。破壊試験は10ケタで行なった後、5ケタでふたび行なった。10ケタでの破壊試験では10ケタおよびケタが下フランジ上を側方にすべり出して破壊しており破壊荷重が

表1 コンクリート強度

	O <sub>ed</sub> (標準)	O <sub>f</sub> (現場)	E <sub>c</sub> (現場)
スラブA	431.2	209.4	285.2
スラブB	370.2	153.9	300.3

27.5%と非常に低い値であり、荷重の撤去後はほぼ以前の状態に復したことより第ケタでの破壊荷重を高めることはケタの側方への移動を拘束することが有効であると考えられる。5ケタでの破壊試験では60まで、ケタ上フランジのつけ根のせん断で破壊した。

(スラブB)スラブBでも1ケタの載荷中約10tで中詰コンクリートとケタの付着が破壊し、載荷点の移動にともなうスラブの全面にヒビクレバ生じた。しかしヒビクレバ幅は小さく0.1mm程度である。荷重一カタミ曲線は図-1に示す。

### 参考

図-1の3本の線は比較のために記入して計算値と実験は横筋めを行なったスラブを対照としてGuyon-Massonetの方法による計算値であり、実験はスラブBの横方向の曲げ剛性を鉄筋コンクリートとして同じくGuyon-Massonetの方法により計算したものである。また破線はスラブAの場合で中詰コンクリートとケタの付着が全くないとして、荷重分配はケタのねじり剛性とケタ間の回転の拘束に対する水平方向の曲げ剛性によって行なわれると考え、各ケタの連続の条件より求めた式より計算したものである。

$$\frac{d^2}{dx^2}(q_{K+1} + q_{K+1}) + 2\beta^2 \frac{d^2}{dx^2} q_K - \alpha^2 (q_{K+1} - 2q_K + q_{K+1}) \\ = (\beta^2 - 1) \delta^2 \frac{d^4}{dx^4} M_T - (\beta^2 - 1) \frac{d^2}{dx^2} (P_K - P_{K+1}) - \alpha^2 (P_K - P_{K+1}) - C_1$$

ここに  $\alpha^2 = \frac{GJ}{EIx b^2 - EIy h^2}$ ,  $\beta^2 = \frac{I_x b^2 + I_y h^2}{I_x b^2 - I_y h^2}$   
 $\delta^2 = \frac{EIx b^2}{GJ}$ , GJはケタのねじり剛性, EIx, EIyはケタの垂直方向および水平方向の曲げ剛性, MTはねじりモーメント, PK, PK+1はKケタに作用する荷重, qKはKケタと(K+1)ケタの間に作用するせん断力を示す。両スラブとも載荷の初期には横筋めを行なうにスラブとほぼ等しいカタミであるのに対

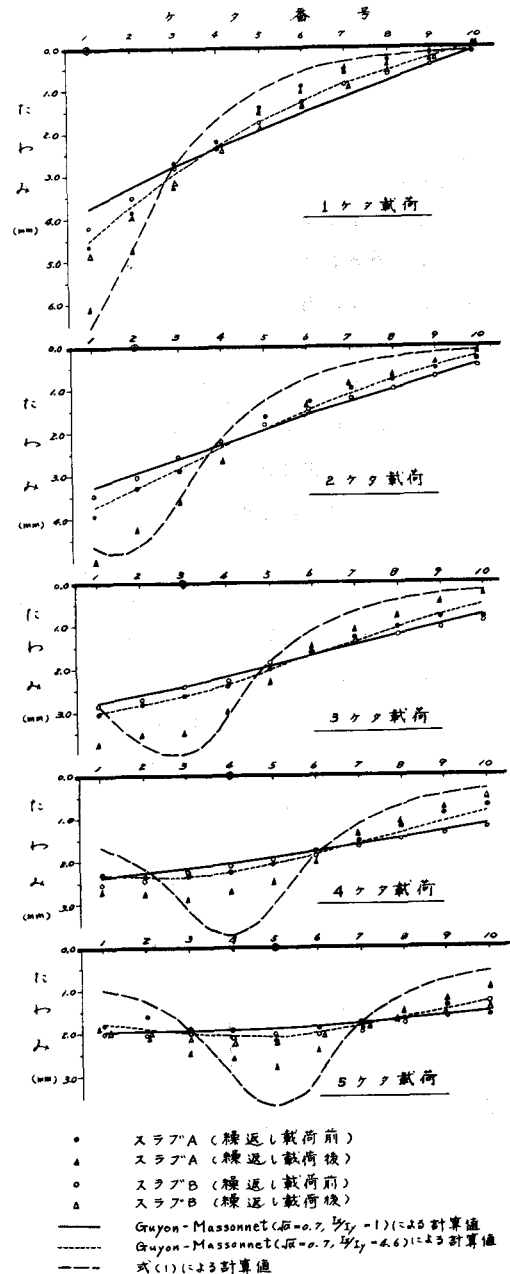


図-1 スラブのたわみ曲線

し、繰返し荷重の載荷後では最大のカタミでスラブA 32%, スラブB 15%いずれも増加し、スラブAでは(1)式で計算した値近くとなり、スラブBでは  $\frac{I_x}{I_y} = 4.6$  (鉄筋より上の全断面有効) よりカタミ大きな値を示す。以上よりスラブAは横筋めでスラブより相当に小さな荷重しか許容できないが、スラブBでは横筋めでスラブとほぼ同等の荷重が許容できるものと考えられる。